# Portfolioüberschneidung

## LSEQ / ROUS

| Überschneidung | Gemeinsame Positionen |
|---|---|
| 19,88% | 52 |

## Harbor Long-Short Equity ETF

Bestandsdaten 31.10.2025 | 117,90% NAV

Überschneidung / LSEQ 44,81%

## Hartford Multifactor U.S. Equity ETF

Bestandsdaten 31.10.2025 | 99,82% NAV

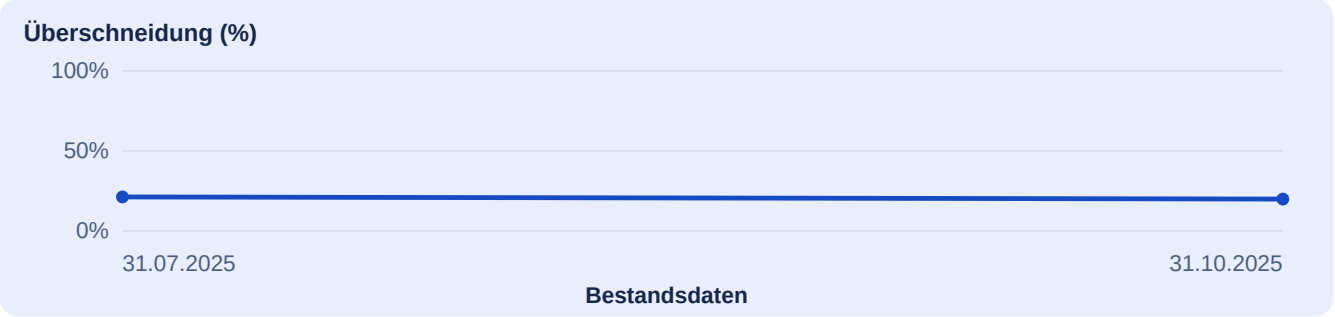
Überschneidung / ROUS 20,27%

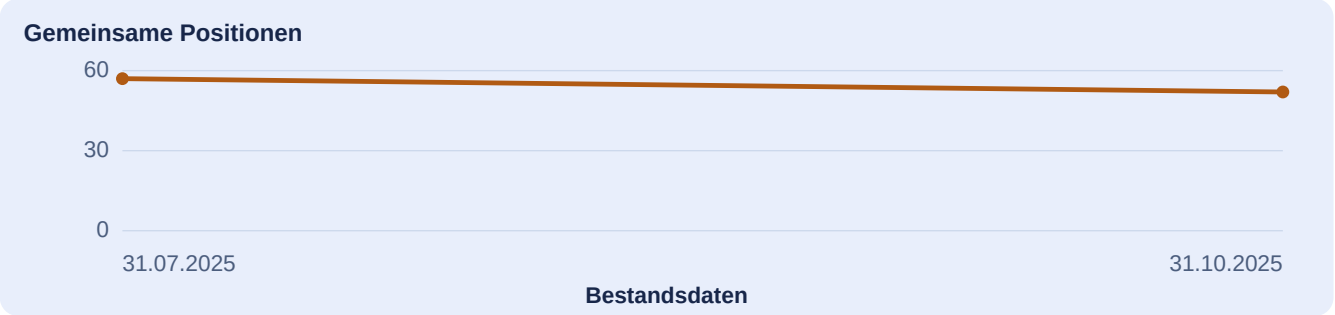
## Größte gemeinsame Positionen

| Wertpapier | LSEQ | ROUS | Überschneidung |
|---|---|---|---|
| Western Digital Corp | 1,51% | 1,08% | 1,08% |
| Amphenol Corp | 1,18% | 0,98% | 0,98% |
| Corning Inc | 1,50% | 0,85% | 0,85% |

Die Gewichte beziehen sich auf das Nettofondsvermögen. Für jede gemeinsame Stammaktienklasse wird das kleinere Gewicht verwendet. Die Gewichte bleiben unverändert, wenn Positionen keiner Aktie zugeordnet werden können.

# Verlauf




2 gemeinsame Stichtage vom 31.07.2025 bis 31.10.2025. Beide Meldungen beziehen sich auf denselben Stichtag. Der erfasste Anteil des Nettofondsvermögens beträgt mindestens 99,77 %. Die Meldungen gingen 47 bis 57 Tage nach dem Stichtag ein. Die genaue Uhrzeit der Veröffentlichung geht aus dem Archiv nicht hervor.

# Größte Veränderungen

31.07.2025 / 31.10.2025 -1,34 pp

| Wertpapier | Überschneidung 31.07.2025 | Überschneidung 31.10.2025 | Änderung (PP) |
|---|---|---|---|
| Western Digital Corp | 0,00% | 1,08% | +1,08 |
| Newmont Corp | 0,00% | 0,73% | +0,73 |
| Oracle Corp | 0,70% | 0,00% | -0,70 |
| T-Mobile US Inc | 0,68% | 0,00% | -0,68 |
| CH Robinson Worldwide Inc | 0,00% | 0,68% | +0,68 |
| Übrige gemeinsame Aktienklassen | | | -2,45 |

# Quellen und Methode

Die Gewichte beziehen sich auf das Nettofondsvermögen. Für jede gemeinsame Stammaktienklasse wird das kleinere Gewicht verwendet. Die Gewichte bleiben unverändert, wenn Positionen keiner Aktie zugeordnet werden können.

nport-common-equity-v1

| Bestandsdaten | Gewicht (%) | Klassen | LSEQ · SEC | ROUS · SEC |
|---|---|---|---|---|
| 31.10.2025 | 19,88% | 52 | 0001410368-25-039924 | 0001410368-25-038416 |
| 31.07.2025 | 21,22% | 57 | 0001410368-25-012036 | 0001410368-25-011774 |